

## اثر سیتوتوکسیک عصاره دیواره بدن خیار دریایی گونه (*Holothuria arenicola*) بر روی سلول‌های سرطانی ملانومایی

نجمه نیکدل<sup>۱</sup>، جواد بهارآرا<sup>۲\*</sup>، خدیجه نژاد شاهرخ‌آبادی<sup>۳</sup>، الهه امینی<sup>۴</sup>

<sup>۱</sup>دانشجو، گروه زیست‌شناسی سلولی تکوینی جانوری، دانشگاه آزاد اسلامی واحد مشهد، مشهد، ایران؛ <sup>۲</sup>مرکز تحقیقات بیولوژی کاربردی تکوین جانوری، گروه زیست‌شناسی، دانشگاه آزاد اسلامی واحد مشهد، مشهد، ایران؛ <sup>۳</sup>گروه زیست‌شناسی، دانشگاه آزاد اسلامی واحد مشهد، مشهد، ایران؛ <sup>۴</sup>دانشجو، گروه زیست‌شناسی تکوین جانوری، دانشگاه خوارزمی، تهران، ایران.

تاریخ دریافت: ۹۳/۱۱/۵ تاریخ پذیرش: ۹۳/۱۲/۱۴

### چکیده:

زمینه و هدف: خیار دریایی در اغلب اکوسیستم‌های دریایی جزء مهمی از اکوسیستم‌های آبی به شمار می‌آید. ملانوما به‌عنوان خطرناک‌ترین فرم سرطان پوست، مدت‌های مدیدی است که بشر را تحت تأثیر قرار می‌دهد. در پژوهش حاضر اثر سیتوتوکسیک عصاره دیواره بدن خیار دریایی گونه *Holothuria arenicola* بر روی سلول‌های سرطانی ملانوما بررسی شده است.

روش بررسی: در این پژوهش تجربی آزمایشگاهی رده‌ی سلولی ملانومای موشی در محیط کشت (Roswell Park Memorial Institute= RPMI 1640) در ۱۰ درصد FBS در دمای ۳۷ درجه‌ی سانتیگراد، ۵ درصد دی‌اکسید کربن کشت شدند. بعد از ۲۴ ساعت سلول‌ها با عصاره‌ی تام دیواره‌ی بدن خیار دریایی در غلظت‌های مختلف (۵۰۰ و ۱۵۰، ۳۱۰، ۶۲۰، ۱۲۵۰، ۲۵۰ mg/ml) تیمار شدند. اثر سیتوتوکسیک عصاره خیار دریایی توسط روش MTT (3-(4, 5-dimethylthiazol-2-yl)-2, 5-diphenyltetrazolium bromide) رنگ‌آمیزی اکریلین اورنج/ پروپودیوم ایداید، DAPI (4, 6- Diamidino-2-phenylindole)، فلوسیتومتري و آزمون کاسپاز ۳ و ۹ بر سلول‌های سرطانی ملانومای موشی مورد بررسی قرار گرفت و نتایج با استفاده از نرم‌افزار SPSS، آزمون آماری ANOVA تست دانکن در سطح  $P < 0.05$  تحلیل شد.

یافته‌ها: عصاره دیواره‌ی بدن خیار دریایی پس از ۲۴ ساعت با  $IC_{50}$  (Inhibitory Concentration) ۳۱ میکروگرم بر میلی لیتر به‌طور معنی‌داری از طریق آپوپتوز موجب القاء سمیت سلولی بر سلول‌های سرطان ملانومای موشی شد ( $P < 0.05$ ) این عصاره در غلظت ۶۲ میکروگرم بر میلی لیتر سمیت بیشتری را موجب شد. طوری که در حدود ۸۰ درصد سلول‌ها دچار آپوپتوز شدند.

نتیجه‌گیری: یافته‌های ما نشان داد که عصاره تام دیواره‌ی بدن خیار دریایی با دارا بودن اثر سیتوتوکسیک و پیش برنده آپوپتوز بر رده سلولی ملانومای موشی، کاندید مناسبی برای تحقیقات ضد سرطان است.

واژه‌های کلیدی: آپوپتوز، خیار دریایی، ملانوما، سرطان.

### مقدمه:

ترکیبی دارند و این امر بیان‌گر اهمیت ابداع روش‌های جدید می‌باشد (۴).

بیماری‌های با قدرت نامحدود تکثیر، مثل سرطان در نتیجه تغییر در ژنوم ایجاد می‌شوند (۵). مطالعات نشان می‌دهند که حداقل شش تغییر در

سرطان ملانوما هجدهمین سرطان شایع در دنیا، خطرناک‌ترین نوع سرطان پوست و همچنین سرطان مقاوم به شیمی‌درمانی محسوب می‌شود (۱-۳). علی‌رغم روش‌های متداول نظیر شیمی‌درمانی، رادیوتراپی و ایمنی‌درمانی، تعداد بسیاری از بیماران نیاز به درمان

آنتی‌اکسیدان و سیتوتوکسیسیته عصاره‌های آبی و آلی دو گونه خیار دریایی *Holothuria edulis* Lesson و *Stichopus horrens* Selenka بر روی دو رده سلولی A549 و TE1 مطالعه کردند. این محققین موفق به شناسایی اثر سیتوتوکسیک بالای عصاره آلی *S. horrens* بر روی این دو رده سلولی شدند (۱۴)؛ همچنین Li و همکاران وی بر روی Echinocide A ماده‌ی مؤثره‌ای که از خیار دریایی استخراج شده بود تحقیقی انجام دادند توانستند رشد سرطان نو ترکیب پروستات انسانی را در مدل‌های موشی مهار کنند (۱۵). در تحقیقی دیگر بر روی چندین رده سلولی از قبیل A549، HCT-116، HepG2 و MCF-7 با استفاده از Argusides B,C که یک ساپونین استخراج شده از خیار دریایی بود آزمایشاتی صورت گرفت که در نهایت پی به سمیت این ترکیبات بردند. حتی متوجه شدند که این ترکیبات اثر بهتری بر روی دو لاین سلولی A549 و HCT-116 در مقایسه با داروی ضد سرطانی etoposide دارند (۱۶). با توجه به اینکه اثر سیتوتوکسیک و ضد توموری عصاره دیواره‌ی بدن خیار دریایی بر روی ملانوما به‌عنوان کشنده‌ترین نوع سرطان پوست تاکنون بررسی نشده است، در پژوهش تجربی آزمایشگاهی حاضر اثر سیتوتوکسیک عصاره تام دیواره‌ی بدن خیار دریایی گونه‌ی خلیج فارس (*Holothuria arenicola*) بر روی سلول‌های سرطان ملانوما B16F10 بررسی شده است.

### روش بررسی:

برای تهیه‌ی عصاره، نمونه‌های خیار دریایی گونه‌ی *H. arenicola* از سواحل جزیره‌ی قشم جمع‌آوری و به مرکز تحقیقات بیولوژی کاربردی جانوری دانشگاه آزاد اسلامی مشهد منتقل و سپس مواد داخل بدن آن‌ها خارج گردید و در تاریکی و در دمای اتاق قرار داده شد تا خشک شوند. سپس آن‌ها را کوبیده و به ازای هر گرم وزن خشک بدن، ۱۰ میلی‌لیتر متانول اضافه شد و جهت تغلیظ ۳ شبانه‌روز روی شیکر چرخشی قرار داده شد. سپس با کاغذ واتمن صاف شد

فیزیولوژی سلولی موجب رشد بدخیمی می‌شود که شامل خودکفا بودن در تکثیر سلولی، مقاوم بودن به سیگنال‌های بازدارنده تکثیر سلولی، عدم انجام آپوپتوز، عدم محدودیت در پتانسیل تکثیر، تقویت رگ زایی و حمله به سایر جاها هستند. یکی از این تغییرات گریز از آپوپتوز است. بنابراین یکی از اهداف درمانی سرطان القا آپوپتوز در سلول‌های سرطانی است (۶).

آپوپتوز (مرگ برنامه ریزی شده سلولی)، فرایندی است که اهمیت اساسی در جلوگیری از ایجاد تومور دارد. این نوع مرگ سلولی، عملکرد هومئوستاتیک دارد (۷، ۸). آپوپتوز فرایندی است که توسط ویژگی‌های مورفولوژیک و بیوشیمیایی خاصی نظیر واکنش شدن سیتوپلاسم، انقباض هسته، تراکم کروماتین و چروکیدگی شدن سلول مشخص می‌شود، یکی دیگر از این تغییرات جابجایی فسفاتیدیل سرین از سطح داخلی غشا به سطح خارجی آن است که موجب شناسایی سلول‌های آپوپتوزی توسط ماکروفاژها میگردد در حالیکه به‌طور طبیعی و در سلول‌های سالم فسفاتیدیل سرین در سمت داخلی غشا به سمت سیتوزول قرار دارد (۷).

محیط دریایی منبعی غنی از فلور و فون دریایی است و فرآورده‌های طبیعی حاصل از آن‌ها دارای خواص و کاربردهای درمانی منحصر به فردی هستند (۹، ۱۰). خیار دریایی که به‌عنوان جینسینگ دریایی شناخته می‌شود از جمله منابع غذایی هستند که به‌طور سنتی در بسیاری از کشورها از جمله آسیای غربی میانی مصرف دارد (۱۱). خیار دریایی به‌طور بالقوه دارای سوبستراهای فعال بیولوژیکی متعددی مثل پلی ساکارید، پروتئین، لیپید، ویتامین، فیبر محلول و مواد معدنی هستند که کاربردهای پزشکی متعددی در درمان سرطان (۱۲) التهاب، آلرژی، دیابت، ترومبوز، کاهش چاقی توسط پایین آوردن ارزش کالری وعده غذایی، کاهش جذب لیپید و بیماری‌های قلبی عروقی، کاهش فشارخون و سایر بیماری‌های تحلیل برنده و مخرب دارند (۹، ۱۳). به‌عنوان مثال Althunibat و همکاران بر روی اثرات

اورنج و ۱۰ میکرولیتر پروپودیوم ایداید اضافه شد و پس از پیناژ توسط میکروسکوپ فلورسنت مورد بررسی قرار گرفتند (۱۹). جهت انجام تست DAPI، پس از گذشت ۲۴ ساعت از تیمار به سلول‌های گروه کنترل و تیمار متانول جهت تثبیت افزوده شده و سپس در معرض رنگ DAPI (۵۰ میکروگرم بر میلی‌لیتر) قرار داده شدند و به کمک میکروسکوپ فلورسنت مورد بررسی قرار گرفتند (۲۰).

ارزیابی آپوپتوز توسط کیت تشخیصی انکسین/پروپودیوم ایداید انجام پذیرفت. بدین ترتیب که سلول‌ها پس از ۲۴ ساعت کشت درون پلیت ۶ خانه با تراکم  $2 \times 10^5$  تحت تیمار با غلظت‌های عصاره‌ی تام خیار دریایی (۳۱ و ۶۲ میکروگرم بر میلی‌لیتر) به مدت ۲۴ ساعت قرار گرفتند (۲۱، ۲۲). سپس محیط رویی گروه کنترل و دو گروه تیمار به اپندورف منتقل و در دور ۴۵۰۰rpm و به مدت ۸ دقیقه سانتریفوژ شدند. با خارج کردن محیط رویی، به هر نمونه ۵۰۰ ماکرو لیتر 1X Binding Buffer اضافه کرده و سپس ۵ ماکرو لیتر Annexin V-FITC و ۵ ماکرو لیتر propidium iodide به هر نمونه اضافه شد. سپس در دمای اتاق به مدت ۵ دقیقه در تاریکی انکوبه شده و برای رسم نمودارهای آن به وسیله دستگاه فلو سایتومتری اقدام شد.

با رسم نمودارها درصد سلول‌های زنده در سمت چپ- پایین و درصد سلول‌هایی که در مراحل اولیه آپوپتوز قرار دارند در سمت راست- پایین و در صد سلول‌ها در مرحله آپوپتوز ثانویه در سمت راست بالا و درصد سلول‌هایی که به سمت نکروز رفته‌اند در سمت چپ- بالا مشخص می‌شود (۲۳، ۲۴).

برای اثبات القاء مرگ سلولی آپوپتوز از روش دیگری نیز استفاده شد به این صورت که ابتدا تعداد  $2 \times 10^5$  سلول ملانوما رده‌ی B16F10 را در پلیت ۶ خانه کشت دادیم و بعد از گذشت ۲۴ ساعت سلول‌ها را تحت تیمار با غلظت‌های ۳۱ و ۶۲ میکروگرم بر میلی‌لیتر عصاره‌ی تام دیواره‌ی بدن خیار دریایی به مدت ۲۴ ساعت تیمار شدند. سپس سلول‌های گروه کنترل و تیمار تریپسینه شده و به آن‌ها ۱۰ میکرولیتر اکریدین

و عصاره توسط دستگاه وکیوم تغلیظ شد و به منظور تغلیظ بیشتر درون آن با درجه حرارت ۴۰ درجه سانتی‌گراد قرار داده شد.

برای انجام تجربیات رده سلولی B16F10 (تهیه شده از انستیتو پاستور تهران) در محیط کشت RPMI1640 (Bioidea, Iran) حاوی ۱۰ درصد FBS و ۱ درصد پنی‌سیلین استرپتومایسین (Gibco, USA) کشت داده شد. زمانی که تراکم سلول‌ها به ۸۰ درصد رسید، سمیت سلولی عصاره دیواره‌ی بدن خیار دریایی بر روی سلول‌های سرطان ملانوما B16F10 با استفاده از روش MTT ارزیابی شد. این روش بر اساس فعالیت دهیدروژنازهای میتوکندریایی است که از جمله مارکرهای مهم در بقاء به شمار می‌روند. برای این منظور سلول‌ها در تراکم  $2 \times 10^4$  سلول در هر خانه پلیت ۹۶ خانه کشت داده شدند. ۲۴ ساعت پس از کشت با غلظت‌های مختلف عصاره (۱۵، ۳۱، ۶۲، ۱۲۵، ۲۵۰ و ۵۰۰ میکروگرم بر میلی‌لیتر) به مدت ۲۴، ۴۸ و ۷۲ ساعت تیمار شدند ( $n=3$ ). پس از این مدت مورفولوژی سلول‌ها در زیر میکروسکوپ معکوس و سمیت سلولی توسط روش MTT مورد ارزیابی قرار گرفت (۱۷، ۱۸). نتایج به دست آمده توسط نرم‌افزار آماری SPSS و آزمون آماری ANOVA جهت مقایسه‌ی تأثیر غلظت‌های مختلف عصاره در مقایسه با گروه کنترل در سطح  $P < 0.05$  تجزیه و تحلیل شد و  $IC_{50}$  توسط نرم‌افزار prism3 محاسبه گردید.

از رنگ‌آمیزی اکریدین اورنج پروپودیوم ایداید جهت ارزیابی نوع مرگ سلولی القا شده توسط عصاره‌ی تام به دست آمده از خیار دریایی گونه‌ی *H. Arenicola* استفاده شد. برای این منظور، ۲۴ ساعت پس از کشت سلول‌ها با تراکم  $2 \times 10^5$  درون پلیت ۲۴ خانه، محیط رویی سلول‌ها تعویض و با غلظت‌های ۳۱ و ۶۲ میکروگرم بر میلی‌لیتر عصاره‌ی تام دیواره‌ی بدن خیار دریایی به مدت ۲۴ ساعت تیمار شدند. سپس سلول‌های گروه کنترل و تیمار تریپسینه شده و به آن‌ها ۱۰ میکرولیتر اکریدین

**یافته‌ها:**

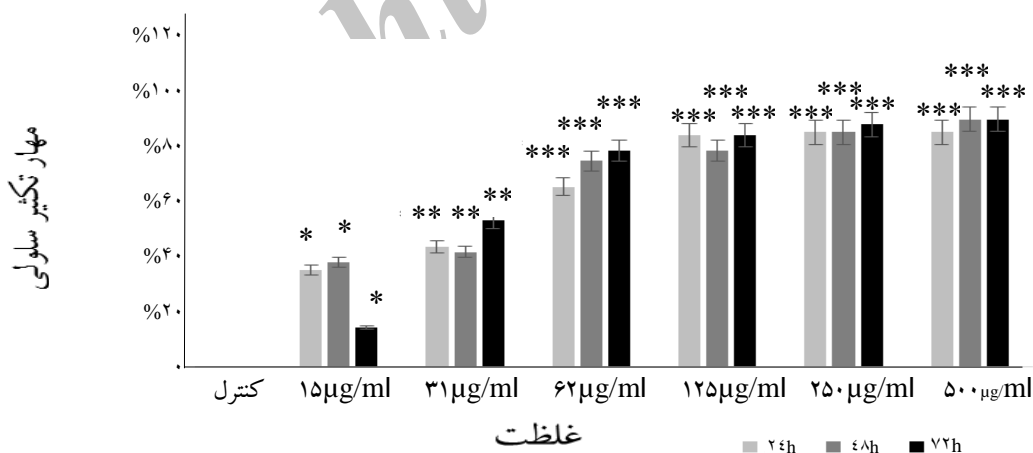
بررسی توسط میکروسکوپ اینورت نشان داد که سلول‌ها قبل از تیمار با عصاره‌ی تام دیواره‌ی بدن خیار دریایی به صورت سالم و کشیده با هسته کاملاً طبیعی ظاهر شدند لیکن این سلول‌ها پس از تیمار با غلظت‌های ۶۲ میکروگرم بر میلی‌لیتر و بالاتر گرد شدند. البته ذکر این نکته حائز اهمیت است که در غلظت ۳۱ میکروگرم بر میلی‌لیتر پس از ۲۴ ساعت تقریباً نیمی از سلول‌ها گرد شده‌اند (تصویر شماره ۱).

بررسی نتایج MTT نشان داد که  $IC_{50}$  (غلظت ۵۰ درصد مهار) عصاره تام خیار دریایی گونه‌ی *Holothuria arenicola* غلظت ۳۱ میکروگرم بر میلی‌لیتر است ( $P < 0.05$ ) که در بازه‌ی ۲۴ ساعت بعد از تیمار تقریباً باعث مهار تکثیر نیمی از سلول‌های B16F10 شد. هم‌چنین نشان داده شد که با گذشت زمان و افزایش غلظت عصاره خیار دریایی، بقاء سلولی کاهش یافته و بیشتر سلول‌ها به سمت لیز شدن پیش رفتند (نمودار شماره ۱).

از ۳۰ دقیقه انکوبه سلول‌ها را با روش فلوسایتومتری مورد بررسی قرار دادیم (۲۳).

جهت تعیین نوع مرگ سلولی آپوپتوز، بعد از گذشت ۲۴ ساعت از تیمار توسط غلظت‌های ۳۱ و ۶۲ میکروگرم بر میلی‌لیتر عصاره‌ی تام دیواره‌ی بدن خیار دریایی ( $n=3$ )، سلول‌های گروه کنترل و تیماری از کف چاهک‌های پلیت جدا و سانتیفریژ شد، بعد از اتمام سانتیفریژ، محیط رویی را برداشتیم و به هر نمونه ۵۰ میکرو لیتر از Cell Lysis Buffer افزودیم و نمونه‌ها را به اپندورف ۱/۵ میلی‌لیتر منتقل نمودیم و ۱۰ دقیقه بر روی یخ قرار دادیم، سپس در دور ۱۰۰۰۰ به مدت ۲ دقیقه سانتیفریژ گردید و از محیط رویی برای تعیین غلظت پروتئین استفاده گردید.

در این مرحله ۵۰ میکرو لیتر از DDT و 2x buffer و ۵ میکرو لیتر از سوبسترای کاسپاز ۹ (LEHD-p-NA) و سوبسترای کاسپاز ۳ (DEVD-P-NA) به هر نمونه اضافه کرده و به مدت ۲ ساعت درون انکوباتور انکوبه کرده و سپس جذب هر نمونه در طول موج ۴۰۰ یا ۴۵۰ نانومتر توسط اسپکتروفتومتر اندازه‌گیری شد (۲۵، ۲۶).



**نمودار شماره ۱:** مقایسه اثر غلظت‌های مختلف عصاره تام دیواره‌ی بدن خیار دریایی بر درصد مهار بقای سلولی سلول‌های B16F10

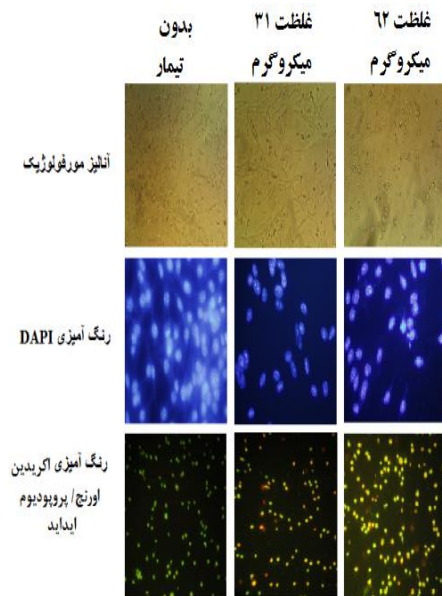
پس از طی ۲۴، ۴۸ و ۷۲ ساعت تیمار بر اساس سنجش MTT ( $P < 0.05$ ،  $**P < 0.01$ ،  $***P < 0.001$ ). غلظت ۳۱ میکروگرم بر میلی‌لیتر عصاره مورد نظر باعث مهار رشد تقریباً نیمی از سلول‌ها شده ( $P < 0.05$ ) و غلظت‌های بالاتر آن اغلب سلول‌ها را از بین برده است.

می‌نمایند سلول‌ها در گروه کنترل کشیده هستند و در گروه ۳۱ میکروگرم بر میلی‌لیتر از عصاره تقریباً نیمی از سلول‌ها گرد شده‌اند که نشان‌دهنده‌ی آپوپتوز است. در گروه ۶۲ میکروگرم بر میلی‌لیتر از عصاره تقریباً تمام سلول‌ها گرد شده‌اند. رنگ‌آمیزی DAPI: در گروه کنترل هسته‌ها منسجم و یکدست هستند (بزرگنمایی  $\times 200$ ). دوز ۳۱ میکروگرم بر میلی‌لیتر از عصاره بعد از ۲۴ ساعت تیمار با عصاره تام خیار دریایی. (بزرگنمایی  $\times 200$ ) که همان‌طور که مشاهده می‌شود تقریباً نیمی از هسته‌ها قطعه‌قطعه شده‌اند که معرف مرگ برنامه‌ریزی شده است. دوز ۶۲ میکروگرم بر میلی‌لیتر عصاره بعد از ۲۴ ساعت تیمار با عصاره تام خیار دریایی که بیش از نیمی از هسته سلول‌های B16F10 قطعه شده‌اند (بزرگنمایی  $\times 200$ ). رنگ‌آمیزی اکریدین اورنج/ پروپودیوم ایداید: گروه کنترل، سلول‌ها زنده و به رنگ سبز مشاهده می‌شوند. غلظت ۳۱ میکروگرم بر میلی‌لیتر عصاره تام خیار دریایی بر روی رده‌ی سلولی B16F10، برخی سلول‌ها به رنگ زرد و نارنجی مشاهده می‌شوند که نشان‌دهنده سلول‌ها در مراحل اولیه آپوپتوز هستند. غلظت ۶۲ میکروگرم بر میلی‌لیتر عصاره تام خیار دریایی بر روی سلولی B16F10 که در آن برخی سلول‌ها به رنگ قرمز درآمده‌اند که نشان‌دهنده وجود سلول‌ها در مراحل آخر آپوپتوز هستند (بزرگنمایی  $\times 200$ ).

جهت ارزیابی آپوپتوز توسط کیت تشخیصی انکسین بعد از گذشت ۲۴ ساعت از تیمار سلول‌ها با غلظت‌های ۳۱ و ۶۲ میکروگرم بر میلی‌لیتر عصاره تام خیار دریایی نسبت به گروه کنترل که تحت تیمار قرار نگرفته‌اند. با بررسی سلول‌ها توسط تست انکسین متوجه شدیم سلول‌های گروه کنترل تقریباً همه‌ی آن‌ها در سمت چپ نمودار قرار دارند و دوز ۶۲ میکروگرم بر میلی‌لیتر بیش از ۸۰ درصد از سلول‌ها به سمت راست نمودار حرکت کرده‌اند که نشان می‌دهد مرگ سلولی القا شده آپوپتوز است (تصویر شماره ۲).

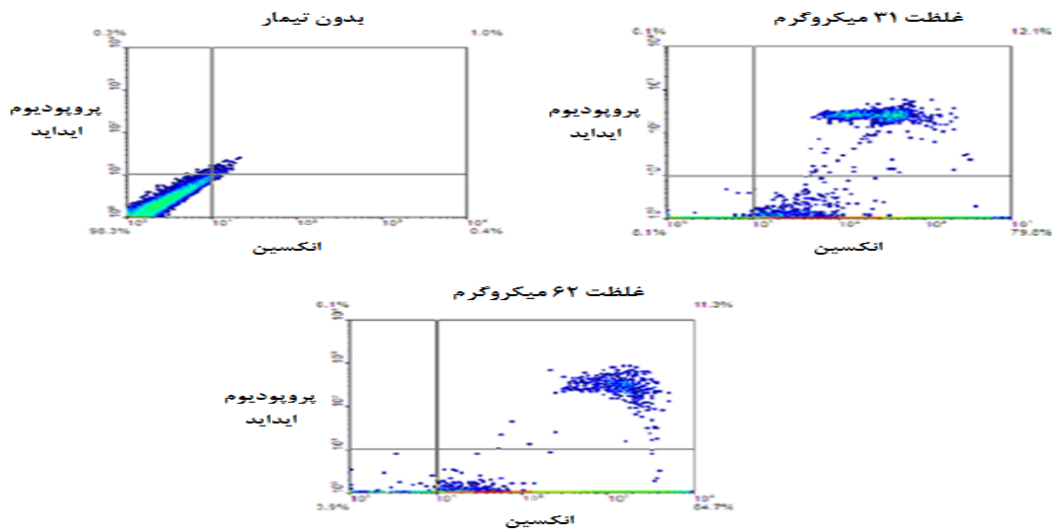
در روش رنگ‌آمیزی اکریدین اورنج/ پروپودیوم ایداید با بررسی هسته‌های رنگ‌شده می‌توان به نوع مرگ سلولی پی برد به این صورت که رنگ سبز نشان‌دهنده سلول‌های زنده و رنگ زرد مایل به نارنجی نشان‌دهنده آپوپتوز اولیه و رنگ نارنجی تیره و یا قرمز نشان‌دهنده آپوپتوز ثانویه است. نتایج حاصل از این روش نشان داد که گروه کنترل همه سلول‌ها به رنگ سبز می‌باشند و در دوز ۳۱ میکروگرم بر میلی‌لیتر تقریباً نیمی از سلول‌ها سبز و نیمی زرد و در دوز ۶۲ میکروگرم بر میلی‌لیتر بیشتر سلول‌ها به رنگ نارنجی ملاحظه می‌شوند.

در رنگ‌آمیزی توسط رنگ DAPI که هسته‌ها رنگ‌آمیزی می‌شوند در گروه کنترل هسته‌ها یکدست بودند ولی در گروه‌های تیمار شده با عصاره‌ی تام دیواره‌ی بدن خیار دریایی هسته‌ها یکپارچگی خود را از دست داده و قطعه‌قطعه شده بودند (تصویر شماره ۱).



تصویر شماره ۱: آنالیز مورفولوژیک

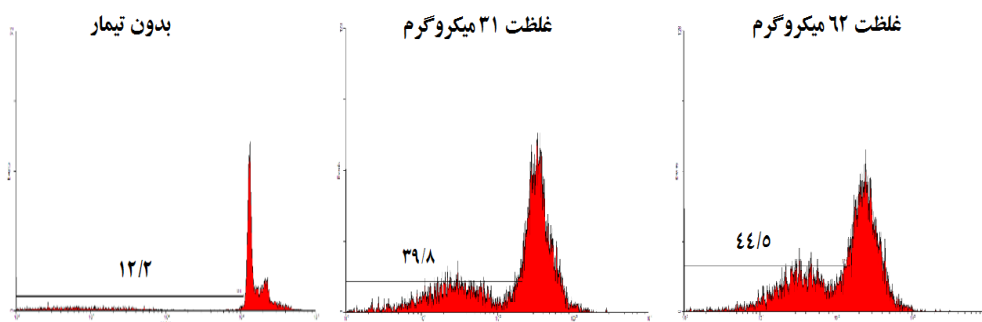
تغییرات مورفولوژیک سلول‌های B16F10 تحت تیمار با غلظت‌های مختلف عصاره تام خیار دریایی. همان‌طور که در تصویر شماره ۱ مشاهده



**تصویر شماره ۲:** آنالیز فلوسایتومتری عصاره تام دیواره‌ی بدن خیار دریایی بر روی سلول‌های B16F10

نتایج نشان می‌دهد که با گذشت ۲۴ ساعت از تیمار در دوز ۶۲ میکروگرم بر میلی‌لیتر با استفاده از کیت تشخیصی Annexin V-FITC بیش از ۸۰ درصد از سلول‌ها دچار آپوپتوز شده‌اند. آزمون فلوسایتومتری با پروپودیوم ایداید برای بررسی سلول‌ها در فازهای مختلف سیکل سلولی

در این بررسی افزایش فاز sub G0/G1 (پیک آپوپتوز) و کاهش فاز S که نشان‌دهنده القاء آپوپتوز و مهار سنتز DNA است، در غلظت ۳۱ و ۶۲ میکروگرم بر میلی‌لیتر عصاره‌ی تام دیواره‌ی بدن خیار دریایی مشاهده شد (تصویر شماره ۳).



**تصویر شماره ۳:** آنالیز فلوسایتومتری عصاره تام دیواره‌ی بدن خیار دریایی بر روی سلول‌های B16F10 توسط تست PI

جهت تعیین مسیر آپوپتوزی القا شده توسط غلظت‌های موثره عصاره تام دیواره‌ی بدن خیار دریایی از فعالیت کاسپاز (۹،۳) استفاده شد. بررسی نتایج سلول‌های رده سلولی B16F10 تحت تیمار با غلظت‌های ۳۱ و ۶۲ میکروگرم بر میلی‌لیتر عصاره‌ی تام دیواره‌ی بدن خیار دریایی در مقایسه با گروه کنترل افزایش

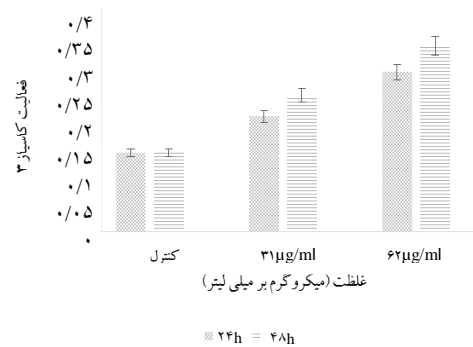
نتایج نشان می‌دهد که با گذشت ۲۴ ساعت از تیمار در دوز ۳۱ میکروگرم بر میلی‌لیتر فاز sub G0/G1 افزایش یافته که نشانگر القاء آپوپتوز توسط عصاره است و در دوز ۶۲ میکروگرم بر میلی‌لیتر فاز S کاهش و فاز sub G0/G1 نسبت به گروه کنترل و حتی گروه تیماری با دوز ۳۱ میکروگرم بر میلی‌لیتر افزایش یافته است.

اثرات توکسیک بر روی سلول‌های سرطان ملانومایی B16F10 مقاوم به دارو می‌شود. با وجود درمان‌های رایج در رابطه با سرطان ملانوما، یکی از راهکارها جهت بهبود اثرات داروهای شیمی‌درمانی بکارگیری ترکیباتی نظیر فراورده‌های طبیعی است که ضمن کاهش عوارض جانبی بتواند تأثیر قوی بر روی سلول‌های سرطانی داشته باشد (۲۷،۴).

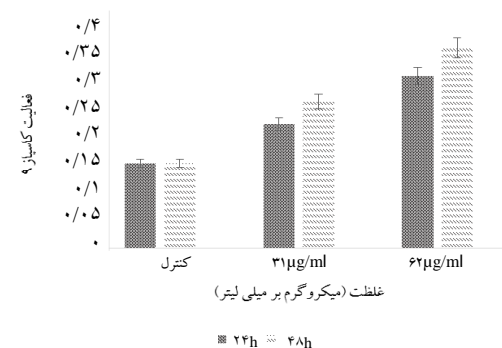
در طول چندین سال گذشته شاهد افزایش تحقیق بر روی سخت‌پوستان دریایی، نرم‌تنان و خارپوستان، به‌ویژه به دلیل سود جستن از متابولیت‌های ثانویه آن‌ها با دارا بودن خواص ضد میکروبی مطلوب این مواد هستیم و خارپوستان، به‌عنوان یک منبع ترکیبات فعال بیولوژیکی با کاربردهای پزشکی مورد بررسی قرار گرفته‌اند (۹). وجود فراورده‌های طبیعی متنوع از نظر ساختاری همچون ساپونین در خیار دریایی آن را کاندید مناسبی برای کاربردهای زیست پزشکی می‌سازد (۲۸،۱۲).

در تحقیق حاضر  $IC_{50}$  که برای سلول‌های ملانوما رده‌ی B16F10 توسط عصاره‌ی تام دیواره‌ی بدن خیار دریایی گونه‌ی خلیج فارس به دست آمد ۳۱ میکروگرم بر میلی‌لیتر بود که در مقایسه با تحقیقی که Althunibat انجام داد کمی بهتر بود. Althunibat و همکاران بر روی اثرات آنتی‌اکسیدان و سیتوتوکسیسیته‌ی عصاره‌های آبی و آلی دو گونه خیار دریایی *Holothuria edulis Lesson* و *Stichopus horrens Selenka* بر روی دو دودمان A549 سلول‌های سرطان ریه و دودمان TE1 سلول‌های سرطان ازوفازیاال مطالعه کردند و مشاهده نمودند عصاره آلی *S. Horrens* دارای اثرات سیتوتوکسیک بالایی علیه سلول‌های سرطانی A549 و TE1 است و  $IC_{50}$  به ترتیب ۱۵/۵ و ۴/۰ میکروگرم بر میلی‌لیتر، ثبت شد (۱۴). می‌توان علت متفاوت بودن نتایج در میزان سیتوتوکسیک و میزان مهار تکثیر سلولی را به میزان مقاومت و میزان حساسیت

فعالیت کاسپاز ۹ و ۳ را نشان داد که معرف این مطلب است که مرگ سلولی القاء شده با عصاره‌ی تام دیواره‌ی بدن خیار دریایی بر رده سلولی B16F10 وابسته به کاسپاز بوده است و با توجه به افزایش فعالیت کاسپاز ۹ به احتمال فراوان از مسیر داخلی باعث القاء آپوپتوز در سلول‌های ملانومایی می‌شوند (تصویر شماره ۴).



**تصویر شماره ۴-A:** مقایسه میزان فعالیت کاسپاز ۳ در سلول‌های تیمار شده با عصاره تام دیواره‌ی بدن خیار دریایی در مقایسه با گروه کنترل



**تصویر شماره ۴-B:** مقایسه میزان فعالیت کاسپاز ۹ در گروه‌های تیمار با عصاره تام دیواره‌ی بدن خیار دریایی در مقایسه با گروه کنترل

داده‌ها نشان‌دهنده افزایش فعالیت کاسپاز ۹ در گروه‌های تیماری در مقایسه با گروه کنترل است که این افزایش وابسته به غلظت است.

## بحث:

نتایج حاصل از این پژوهش نشان داد که عصاره‌ی تام دیواره‌ی بدن خیار دریایی موجب القاء

آپوپتوز شد. Gian Luigi Russo و همکاران نیز نشان دادند که عصاره‌ی متانولی یک بی‌مهره‌ی دریایی به نام *Ciona intestinalis* بر روی چندین دودمان سلولی بدخیم از جمله Caco2، HPB-ALL، U-937 و HL-60 باعث مهار تکثیر سلولی در این رده‌های سلولی می‌شود و وقایع آپوپتوز اولیه، مانند فعال‌سازی کاسپاز ۳ و تخریب internucleosomal DNA را القا می‌کند (۳۱).

### نتیجه‌گیری:

یافته‌های مطالعه حاضر نشان داد که عصاره‌ی تام دیواره‌ی بدن خیار دریایی *H. arenicola* دارای اثر سمیت وابسته به دوز و زمان بر روی سلول‌های سرطان ملانوما B16F10 است. طوری که از طریق القاء مرگ سلولی آپوپتوز موجب القاء اثرات سیتوتوکسیک بر روی سلول‌های سرطان ملانوما می‌شود. در مجموع نتایج حاصل از این پژوهش از این ایده که منابع دریایی می‌توانند منابع ارزشمندی از عوامل ضد سرطان باشند، حمایت می‌کند.

### تشکر و قدردانی:

از کارشناسان محترم مرکز تحقیقاتی بیولوژی کاربردی تکوین جانوری دانشگاه آزاد اسلامی واحد مشهد که در اجرای این پژوهش با کد مصوب ۱۱۱۳۰۵۱۷۹۱۲۰۰۲۰ همکاری داشتند، صمیمانه سپاسگزاریم.

متفاوت هر رده سلولی نسبت به عصاره‌ها و ترکیبات و غلظت‌های مختلف هر عصاره نسبت داد.

Mutee و همکارانش طی مطالعه خود بر روی IC<sub>50</sub> عصاره‌های متانولی، اتانولی و PBS ستاره دریایی گونه‌ی *Acanthasterplanci* نشان دادند که IC<sub>50</sub> عصاره PBS بر روی رده‌های سلولی MCF-7 و HCT-116 فعالیت قابل توجهی دارد. درحالی‌که غلظت مهاری (IC<sub>50</sub>) عصاره کلروفومی و عصاره‌ی متانولی آن برای همان رده‌های سلولی، فعالیت متوسطی را نشان می‌دهد (۲۹). نتایجی که از عصاره‌ی PBS بر روی رده‌های MCF-7 و HCT-116 به‌دست آمده تقریباً هم‌راستا با نتایج تحقیق حاضر است که نشان می‌دهد عصاره‌ی تام خیار دریایی دارای فعالیت سیتوتوکسیک بالایی است.

نتایج تحقیق حاضر نیز نشان داد که عصاره‌ی تام دیواره‌ی بدن خیار دریایی *Holothuria arenicola* باعث مهار رشد سلول‌های سرطان ملانوما می‌شود و همچنین با گذشت زمان دوز مؤثر جهت کاهش رشد نیز کاهش می‌یابد. Amini و همکارانش اثرات سیتوتوکسیک و همولیتیک ترکیبات شبه ساپونین ستاره شکننده گونه‌ی *Ophiocoma erinaceus* بر روی رده سلولی HeLa را بررسی کردند که نتایج حاصله نشان داد این ترکیبات باعث مهار رشد سلولی می‌شود و این مهار وابسته به دوز و زمان است (۳۰).

در آزمایش حاضر عصاره‌ی تام دیواره‌ی بدن خیار دریایی باعث فعال‌سازی کاسپاز ۳ و درنهایت

### منابع:

1. Dhanamani M, Devi SL, Kannan S. Ethnomedicinal plants for cancer therapy – A Review. *Hygeia J D Med.* 2011; 3(1): 1–10.
2. Kannengiesser C, Spatz A, Michiels S, Eychene A, Dessen P, Lazar V, et al. Gene expression signature associated with BRAF mutations in human primary cutaneous melanomas. *Mol Oncol.* 2008; 1(4): 425-30.
3. Tabolacci C, Lentini A, Mattioli P, Provenzano B, Oliverio S, Carlomosti F, et al. Antitumor properties of aloe-emodin and induction of transglutaminase 2 activity in B16-F10 melanoma cells. *Life Sci.* 2010; 87(9-10): 316-24.



4. Park HJ, Han ES, Park DK. The ethyl acetate extract of PGP (*Phellinus linteus* grown on *Panax ginseng*) suppresses B16F10 melanoma cell proliferation through inducing cellular differentiation and apoptosis. *J Ethnopharmacol.* 2010; 132(1): 115-21.
5. Davies H, Bignell GR, Cox C, Stephens P, Edkins S, Clegg S, et al. Mutations of the BRAF gene in human cancer. *Nature.* 2002; 417(6892): 949-54.
6. Zurich ET, Pretto F, Neri D, Detmar M, Giavazzi R. Therapeutic activity of anti-cancer immunocytokines in combination with chemotherapy[dissertation]. Zürich: Eidgenössische Technische Hochschule ETH Zürich, Nr. 21039; 2013.
7. Mousavi SH, Tayarani-Najaran Z, Hersey P. Apoptosis: from signalling pathways to therapeutic tools. *Iran J Basic Med Sci.* 2008; 11(3): 121-42.
8. Sakagami H. Apoptosis-inducing activity and tumor-specificity of antitumor agents against oral squamous cell carcinoma. *Jpn Dent Sci Rev.* 2010; 46(2): 173-87.
9. Abdallah H, Ibrahim H. Antibacterial carotenoids of three *Holothuria* species in Hurghada. *Egypt J Aquat Res.* 2012; 38: 185-94.
10. Natarajan K, Sathish R, Regupathi T, Riyaz A. Antibacterial activity of crude extracts of marine invertebrate *Polyclinum madrasensis* Sebastian. *Indian J Sci Technol.* 2010; 3(3): 303-4.
11. Xia Y, Liu Z, Li Z. Effects of High Hydrostatic Pressure Treatment on Physicochemical Characteristics of Sea Cucumber. *J Food Sci Eng.* 2012; 2: 227-38.
12. Esmat AY, Said MM, Soliman AA, El-Masry KS, Badiea EA. Bioactive compounds, antioxidant potential, and hepatoprotective activity of sea cucumber (*Holothuria atra*) against thioacetamide intoxication in rats. *Nutrition.* 2013; 29(1): 258-67.
13. Popov A, Artyukov A, Krivoschapko O, Kozlovskaya E. Biological activities of collagen peptides obtained by enzymic Hydrolysis from Far-Eastern holothurians. *Am J Biomed Life Sci.* 2013; 1(1):17-26.
14. Althunibat OY, Ridzwan BH, Taher M, Daud JM, Jauhari Arief Ichwan S, Qaralleh H. Antioxidant and cytotoxic properties of two sea cucumbers, *Holothuria edulis* lesson and *Stichopus horrens* Selenka. *Acta Biol Hung.* 2013; 64(1): 10-20.
15. Li M, Miao ZH, Chen Z, Chen Q, Gui M, Lin LP, et al. Echinoid A, a new marine-derived anticancer saponin, targets topoisomerase $\alpha$  by unique interference with its DNA binding and catalytic cycle. *Ann Oncol.* 2010; 21(3): 597-607.
16. Liu BS, Yi YH, Li L, Sun P, Yuan WH, Sun GQ, et al. Argusides B and C, two new cytotoxic triterpene glycosides from the sea cucumber *Bohadschia argus* Jaeger. *Chem Biodivers.* 2008; 5(7): 1288-97.
17. Forouzandeh F, Salimi S, Naghsh N, Zamani N, Jahani S. Evaluation of anti-cancer effect of *Peganum harmala* L hydroalcoholic extract on human cervical carcinoma epithelial cell line. *J Shahrekord Univ Med Sci.* 2014; 16(4): 1-8.
18. Thangam R, Sathuvan M, Poongodi A, Suresh V, Pazhanichamy K, Sivasubramanian S, et al. Activation of intrinsic apoptotic signaling pathway in cancer cells by *Cymbopogon citratus* polysaccharide fractions. *Carbohydr Polym.* 2014; 107: 138-50.
19. Bakar SAA, Zawawi M, Ali AM, Ideris A. Induction of apoptosis by Newcastle disease virus strains AF220 and V4-UPM in human promyelocytic leukemia (HL60) and human T-lymphoblastic leukemia (CEM-SS) cells. *World Acad Sci Eng Technol.* 2012; 6: 356-60.
20. Wang XB, Liu QH, Mi N, Wang P, Tang W, Zhao XH, et al. Sonodynamically induced apoptosis by protoporphyrin IX on hepatoma-22 cells in vitro. *Ultrasound Med Biol.* 2010; 36(4): 667-76.
21. Ali MA, Abul Farah M, Al-Hemaid FM, Abou-Tarboush FM. In vitro cytotoxicity screening of wild plant extracts from Saudi Arabia on human breast adenocarcinoma cells. *Genet Mol Res.* 2014; 13(2): 3981-90.

22. Nair SV, Hettihewa M, Rupasinghe HP. Apoptotic and inhibitory effects on cell proliferation of hepatocellular carcinoma HepG2 cells by methanol leaf extract of *Costus speciosus*. *Biomed Res Int*. 2014; 2014: 637098.
23. Lu X, Liu W, Wu J, Li M, Wang J, Wu J, et al. A polysaccharide fraction of adlay seed (*Coixlachryma-jobi L.*) induces apoptosis in human non-small cell lung cancer A549 cells. *Biochem Biophys Res Commun*. 2013; 430(2): 846-51.
24. Massaoka MH, Matsuo AL, Figueiredo CR, Farias CF, Girola N, Arruda DC, et al. Jacaranone induces apoptosis in melanoma cells via ROS-mediated downregulation of Akt and p38 MAPK activation and displays antitumor activity in vivo. *PLoS One*. 2012; 7(6): e38698.
25. Roya S, Besra SE, De T, Banerjee B, Mukherjee J, Vedasiromoni JR. Induction of apoptosis in human leukemic cell lines U937, K562 and HL-60 by *Litchi chinensis* leaf extract via activation of mitochondria mediated caspase cascades. *Open Leuk J*. 2008; 1: 1-14.
26. Chen G, Zhang P, Huang T, Yu W, Lin J, Li P, et al. Polysaccharides from *Rhizopus nigricans* mycelia induced apoptosis and G2/M arrest in BGC-823 cells. *Carbohydr Polym*. 2013; 97(2): 800-8.
27. Hamm C, Verma S, Petrella T, Bak K, Charette M, Melanoma Disease Site Group of Cancer Care Ontario's Program in Evidence-based C. Biochemotherapy for the treatment of metastatic malignant melanoma: a systematic review. *Cancer Treat Rev*. 2008; 34(2): 145-56.
28. Hu XQ, Wang YM, Wang JF, Xue Y, Li ZJ, Nagao K, et al. Dietary saponins of sea cucumber alleviate orotic acid-induced fatty liver in rats via PPARalpha and SREBP-1c signaling. *Lipids Health Dis*. 2010; 9: 25.
29. Mutee AF, Salhimi SM, Ghazali FC, Aisha AF, Lim CP, Ibrahim K, et al. Evaluation of anti-cancer activity of *Acanthester planci* extracts obtained by different methods of extraction. *Pak J Pharm Sci*. 2012; 25(4): 697-703.
30. Amini E, Nabiyuni M, Baharara J, Parivar K, Asili J. Hemolytic and cytotoxic effects of saponin like Persian Gulf brittle star (*Ophiocoma erinaceus*). *J Coast Life Med*. 2014; 2(10):762-8.
31. Russo G, Ciarcia G, Presidente E, Siciliano R, Tosti E. Cytotoxic and apoptogenic activity of a methanolic extract from the marine invertebrate *Ciona intestinalis* on malignant cell lines. *Med Chem*. 2008; 4: 106-9.

## The cytotoxic effect of sea cucumber body wall extract, species of *Holothuria arenicola* on melanoma cancer cells

Nikdel N<sup>1</sup>, Baharara J<sup>2\*</sup>, Nejad Shahrokhbabadi Kh<sup>3</sup>, Amini E<sup>4</sup>

<sup>1</sup>Student, Biology Dept., Mashhad Branch, Islamic Azad University, Mashhad, I.R. Iran; <sup>2</sup>Research Center for Animal Development Applied Biology, Biology Dept., Mashhad Branch, Islamic Azad University, Mashhad, I.R. Iran; <sup>3</sup>Biology Dept., Mashhad Branch, Islamic Azad University, Mashhad, I.R. Iran; <sup>4</sup>Student, Animal Biology Dept., Kharazmi University, Tehran, I.R. Iran.

Received: 4/Feb/2015 Accepted: 5/Mar/2015

**Background and aims:** The sea cucumbers were considered as an important component of aquatic ecosystems in more marine ecosystems. Melanoma as the most dangerous form of skin cancer, has long been influenced the human health. The present study was aimed to examine the cytotoxic effect of sea cucumber body wall extract, species of *Holothuria arenicola* on melanoma cancer cells.

**Methods:** In this in vitro experimental study, melanoma cancer cells were cultured in 10% RPMI 1640 (Roswell Park Memorial Institute) medium and incubated at 37°C with 5% CO<sub>2</sub>. After 24 h, the cells were treated by sea cucumber body wall extract with different concentrations (15, 31, 62, 125, 250, 500 µg/ml). The cytotoxic effect of sea cucumber body wall extract were examined by using MTT assay, Acridine Orange/ Propodium Iodide, DAPI (4, 6- Diamidino-2-phenylindole) staining, flow cytometry and caspase 3, 9 assay on melanoma cancer cells. Data were analyzed using SPSS software, one way ANOVA and Duncan test.

**Results:** Sea cucumber body wall extract induced cytotoxic effect through apoptosis induction on B16F10 melanoma cancer cells after 24 h treatment with IC<sub>50</sub> (Inhibitory Concentration)= 31 µg/ml significantly (P<0.05). This extract were exerted more toxicity in concentration of 62 µg/ml as a result around 80% of the cells were apoptotic.

**Conclusion:** Findings showed that the sea cucumber body wall extract with cytotoxic effect and pro apoptosis promoter in B16F10 melanoma cell line can be a suitable candidate for anti-cancer researches.

**Keywords:** Apoptosis, Sea cucumber, Melanoma, Cancer.

**Cite this article as:** Nikdel N, Baharara J, Nejad Shahrokhbabadi Kh, Amini E. The cytotoxic effect of sea cucumber body wall extract, species of *Holothuria arenicola* on melanoma cancer cells. J Shahrekord Univ Med Sci. 2015; 17(5): 33-43.

**\*Corresponding author:**

Research Center for Animal Development Applied Biology, Biology Dept., Mashhad Branch, Islamic Azad University, Mashhad, I.R. Iran; Tel: 00985138437092, E-mail: baharara@yahoo.com